

*LAB. DI ALGORITMI*  
*APPUNTI A CURA DI: RICCARDO LO IACONO*

---

*Università degli studi di Palermo*  
*a.a. 2023-2024*

---

# Indice.

<b>1</b>	<b>Strutture dati astratte: alberi</b>	<b>1</b>
1.1	BST: binary search trees . . . . .	1
1.2	AVL trees: Adelson-Velsky-Landis trees . . . . .	1
1.3	2-3 Trees . . . . .	3
1.4	R-B Trees . . . . .	3
1.5	B-Trees . . . . .	4
<b>2</b>	<b>String sorting</b>	<b>5</b>
2.1	3-Way quicksort . . . . .	5
2.2	Radix sort . . . . .	5
2.3	Trie . . . . .	6

## – 1 – Strutture dati astratte: alberi.

Tra le varie strutture dati astratte, gli alberi sono sicuramente quelli maggiormente utilizzati e di maggior importanza. Di questi, ne esistono molteplici varianti, ciascuna con uno scopo ben preciso; fatto sta che tutte queste varianti sono accomunate dall'efficienza.

### – 1.1 – BST: binary search trees.

Prima di procedere con il discutere varianti di alberi più complesse, si procede a fare un richiamo al concetto di albero binario di ricerca. Questi si ricorda essere una tipologia di albero binario che, dato  $S$  un insieme di elementi ordinati, memorizza gli stessi in un nodo dell'albero in modo tale che, posto  $x \in S$ , si abbia

- per ogni altro  $y$  nel sotto-albero sinistro con radice  $x$ , si abbia

$$key[y] \leq key[x]$$

cioè, ogni elemento del sotto-albero sinistro deve avere un valore minore o uguale, a quello della radice del sotto-albero stesso;

- per ogni altro  $y$  nel sotto-albero destro radicato in  $x$ , si abbia

$$key[y] > key[x]$$

cioè, ogni elemento del sotto-albero destro deve avere un valore maggiore, a quello della radice del sotto-albero stesso.

Si ricorda brevemente che, posto  $h$  l'altezza dell'albero, le operazioni di inserimento, ricerca e cancellazione sono tutto di costo  $\mathcal{O}(h)$ . Si ha quindi che, poiché

$$h = \begin{cases} \log_2(n), & \text{se l'albero è perfettamente bilanciato;} \\ \log_2(n) \leq k \leq n, & \text{se l'albero non è perfettamente bilanciato;} \\ n, & \text{se completamente sbilanciato,} \end{cases}$$

nel caso pessimo si ha un costo di  $\mathcal{O}(n)$ .

### – 1.2 – AVL trees: Adelson-Velsky-Landis trees.

Gli AVL sono una tipologia di alberi binari di ricerca bilanciati in altezza. Nello specifico, si dice che un AVL è bilanciato se questi ha, per ogni sotto-albero, un *fattore di bilanciamento*  $B_f$  minore o uguale ad uno.

Per quel che riguarda le operazioni: essendo, come detto, che gli AVL sono dei BST, e poiché essa non modifica la struttura dell'albero, la ricerca è analoga a quella dei BST; inserimento e cancellazione viceversa, proprio perché modificano la struttura dell'albero, e rischiano di sbilanciarlo, sono modificate in modo tale che a seguito di esse l'albero risulti ancora bilanciato. Tale modifica consiste nelle operazioni di rotazione descritte a seguito.

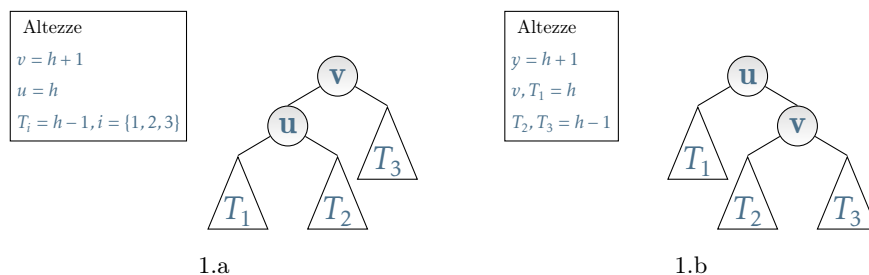
**Osservazione.** Sebbene l'aggiunta delle operazioni di rotazione nel caso di inserimento e cancellazione, ciascuna delle tre operazioni richiede al più tempo  $\mathcal{O}(\log_2(n))$ : questo perché proporzionali all'altezza dell'albero, e poiché il costo di ogni rotazione è  $\mathcal{O}(1)$ .

#### – 1.2.1 – Ribilanciamento di un AVL.

Alla base del processo di bilanciamento vi sono le operazioni di rotazione a sinistra e a destra. Per comprendere tali operazioni, si faccia riferimento a *Figura 1.a*. Si supponga di aggiungere ad  $T_1$  un nodo, portando così a uno sbilanciamento dell'albero. In questo caso si dimostra sufficiente una singola rotazione a destra, a seguito della

*Qui per fattore di bilanciamento si intende la differenza in modulo tra l'altezza dei due sotto-alberi.*

quale l'albero risulta bilanciato (*Figura 1.b*). L'operazione appena descritta prende il nome di rotazione destra-destra, a questa si aggiungono la rotazione sinistra-sinistra (simmetrica alla rotazione destra-destra) e le rotazioni sinistra-destra, destra-sinistra tra loro simmetriche.



Sia ora considerato il caso di una rotazione sinistra-destra (nel caso destra-sinistra si procede eseguendo le operazione nell'ordine inverso), per farlo si faccia riferimento a *Figura 2.a*. Si supponga che ad  $y$  si aggiunga un nodo, sbilanciando in tal modo l'albero. Come mostrato in *Figura 2.b*, una sola rotazione a sinistra non è sufficiente a bilanciare l'albero; a questa è infatti necessario aggiungere una rotazione a destra

2.a

2.c

2.b

2.d

(*Figura 2.c*), portando ad un AVL bilanciato come mostrato in *Figura 2.d*.

### – 1.3 – 2-3 Trees.

**Definizione:** un albero che in ogni suo nodo interno abbia due o tre figli, tali che

- se il nodo è un 2-nodo, questi abbia due link, rispettivamente sinistro e destro, tali che, il figlio sinistro abbia chiave minore del nodo e il figlio sinistro chiave maggiore;
- se il nodo è un 3-nodo, in aggiunta ai link precedenti ne presenta un centrale in cui figli hanno chiave compresa tra il link sinistro e destro;

si dice essere un albero 2-3.

Come visto per gli alberi binari, anche nel caso degli alberi 2-3 si dimostra esservi un legame tra altezza dell'albero e numero di nodi; in particolare si ha il seguente teorema.

**Teorema 1.1.** Sia  $T$  un albero 2-3. Posti  $n$  il numero di nodi,  $f$  il numero di foglie e  $h$  l'altezza dell'albero, si ha

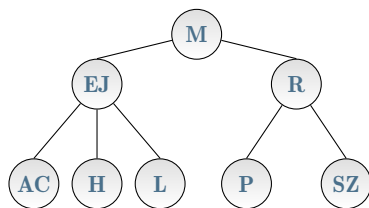
$$2^{h+1} - 1 \leq n \leq \frac{3^{h+1} - 1}{2}$$

$$2^h \leq f \leq 3^h$$

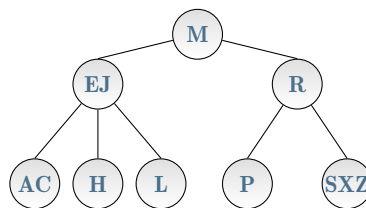
*Dimostrazione:* segue banalmente procedendo per induzione su  $h$ .

Parlando delle operazioni: la ricerca è analoga a quella dei BST; inserimento e cancellazione, similmente a quanto detto per gli AVL, rischiano di sbilanciare l'albero, sono per tale ragione modificate così da ripristinare la condizione di albero 2-3. In questo caso, il bilanciamento è effettuato eseguendo opportunamente la procedura `addSon`: sostanzialmente, nel caso dell'inserimento, se questi è da eseguire su un 2-nodo, non si hanno problemi; se si inserisce in un 3-nodo, si divide il 4-nodo venuto a formarsi. Tale divisione è dipendente dal genitore  $p$  del 4-nodo, se infatti  $p$  è un 2-nodo, si aggiunge a questi l'elemento centrale del 4-nodo; se invece  $p$  è a sua volta un 3-nodo, si procede ricorsivamente eventualmente creando una nuova radice.

**Esempio:** sia considerato l'albero di *Figura 3.a*, e a questi di aggiungere  $X$ . Si è in tal modo creato un 4-nodo ( $SXZ$  di *Figura 3.b*).



3.a: Esempio di albero 2-3 bilanciato.



3.b: Esempio di albero 2-3 sbilanciato.

Circa il costo, si dimostra che tutte le operazioni sono  $\mathcal{O}(\log_2(n))$ .

### – 1.4 – R-B Trees.

I Red-Black trees sono una variante degli alberi binari di ricerca, che assicurano che il costo delle operazioni sia  $\mathcal{O}(\log_2(n))$ . In particolare, ad ogni nodo interno si attribuisce una colorazione rossa o nera; colorazione che è assegnata dal nodo padre. Nella loro versione classica, radice e foglie sono colorati di nero, e nessun nodo rosso può avere un figlio rosso.

### – 1.4.1 – Inserimento.

Sfruttando le operazioni di rotazione a sinistra e a destra descritte per gli AVL, e considerando che vi è una corrispondenza 1 a 1 tra R-B Trees e 2-3 Trees, si ha che: se l'inserimento è relativo un 2-nodo, si inserisce come in un BST, si colora il link di rosso e se quest'ultimo è a destra, si effettua una rotazione a sinistra; se l'inserimento è invece relativo un 3-nodo, si effettua un eventuale rotazione per bilanciare il 4 nodo venuto a crearsi, si commutano i colori per passare il link rosso verso l'alto e, in fine, si esegue, se necessario, una rotazione per mantenere il link rosso a sinistra.

### – 1.5 – B-Trees.

**Definizione:** sia  $M = 2h, h > 0$ , si definisce B-Tree di ordine  $M$  un albero con  $k$  nodi interni o un  $k$ -nodo, tali che

- ogni cammino radice-nodo esterno ha la stessa lunghezza;
- per la radice  $2 \leq k \leq M - 1$ ;
- per ogni altro nodo  $M/2 \leq k \leq M - 1$ .

**Osservazione.** Si può pensare ai B-Tree come ad una generalizzazione degli alberi 2-3.

**Esempio:** sia  $M = 6$ . Un B-Tree di ordine 6 è quello in *Figura 4*.

*Qui \* rappresenta una chiave sentinella, la cui chiave è minore di ogni altra.*

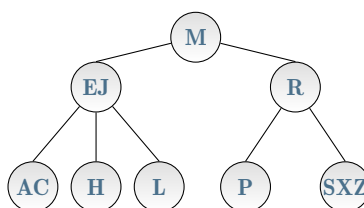


Figura 4: the caption

Circa le operazioni, si dimostra che, dato un B-Tree di ordine  $M$  con  $N$  chiavi, queste richiedono un tempo compreso tra  $\mathcal{O}(\log_{M-1}(N))$  e  $\mathcal{O}(\log_{M/2}(N))$ .

**Osservazione.** I B-Tree sono generalmente utilizzati per la gestione della memoria. Nello specifico per operazioni di I/O. Segue da questo che scegliendo blocchi proporzionali alla dimensione dei blocchi di memoria  $B$ , la complessità si riduce a  $\mathcal{O}(\log_2(N))$ .

### – 1.5.1 – Ricerca.

L'operazione di ricerca è banale; questa infatti consiste nel trovare di volta in volta l'intervallo per la chiave, e seguendo il link relativo giungere a una foglia.

### – 1.5.2 – Inserimento.

Banale tanto quanto la ricerca, consiste nel ricercare la chiave, chiave che se non è trovata viene inserita. Risalendo, se presenti, procede a separare i nodi con  $M$  chiavi.

## – 2 – String sorting.

Si assume noto che relativamente al sorting, esiste un lower-bound di  $\mathcal{O}(n \log_2(n))$  per quel che riguarda l'ordinamento di dati primitivi, presupposto l'esistenza di una relazione d'ordine tra gli stessi. Relativamente le stringhe (così come per altri dati non elementari), tale lower-bound risulta non essere corretto. Ciò segue da una semplice osservazione: siano  $s_1, s_2$  due stringhe da ordinare, si nota banalmente che è necessario confrontare almeno l'*lcp* tra le due, ossia è necessario confrontare almeno il prefisso comune alle due. Generalizzando a  $n$  stringhe vale il seguente teorema.

**Teorema 2.1.** *Sia  $R = \{s_1, \dots, s_n\}$  insieme di  $n$  stringhe. Allora, se utilizzato un algoritmo basato su confronti, ordinare  $R$  richiede  $\Omega(\Sigma LCP(R) + n \log_2(n))$*

In questa sezione si discuteranno algoritmi e strutture dati studiati per ordinare efficientemente le stringhe.

### – 2.1 – 3-Way quicksort.

Ricordando il quicksort: si sceglie uno degli elementi da ordinare (il pivot) e ricorsivamente si suddivide l'insieme da ordinare in due sottoinsiemi, ciascuno contenente rispettivamente i valori minori o uguali al pivot e quali maggiori ad esso. 3-way modifica la creazione di tali partizioni separando i valori minori da quelli uguali: si hanno dunque tre partizioni distinte  $R_<, R_>, R_=>$ . Da un punto di vista implementativo, lo pseudo-codice è il seguente.

⌈  
⌋

Figura 5: theCaption

Qui con  $|R|$  si indica il numero di stringhe rimaste.

### – 2.2 – Radix sort.

Sebbene nato per l'ordinamento di interi, il radix sort, per il modo in cui opera, può essere inteso come un'algoritmo per l'ordinamento di stringhe.

Si distinguono

- *MSD radix sort*: per cui l'ordinamento è effettuato a partire dalla cifra più significativa;
- *LSD radix sort*: con cui si ordina a partire dalla cifra meno significativa.

**Osservazione.** Tutte le stringhe/numeri hanno lo stesso numero di cifre/caratteri.

#### – 2.2.1 – LSD radix sort.

Sia  $R = \{s_1, \dots, s_n\}$  insieme di  $n$  stringhe, sia  $(0, \sigma)$  l'alfabeto su cui sono definite le  $s_i$ . Allora, è possibile ordinare  $R$  con LSD radix sort (*Figura 6*).

⌈  
for  $l = m-1$  to 1 do  
    countingSort( $R, l$ );  
return  $R$ ;  
⌋

Figura 6: Pseudo codice LSD radix sort.

Si dimostra che LSD ha costo  $\mathcal{O}(\|R\| + m\sigma)$  con  $\|R\|$  lunghezza totale delle stringhe.

### – 2.2.2 – MSD radix sort.

Sia  $R = \{s_1, \dots, s_n\}$  insieme di  $n$  stringhe, sia  $(0, \sigma)$  l'alfabeto su cui sono definite le  $s_i$ . Allora, è possibile ordinare  $R$  con MSD radix sort (*Figura 7*).



Figura 7: theCaption

Si dimostra che MSD ha costo  $\mathcal{O}(LCP(R) + n \log_2(\sigma))$ .

### – 2.3 – Trie.

Un *trie* è una struttura ad albero che permette di rappresentare efficientemente le stringhe. Più precisamente, sono definiti come segue.

**Definizione:** sia  $\Sigma$  un alfabeto, si definisce trie un albero radicato i cui nodi hanno al più  $|\Sigma|$  figli; si deve avere inoltre che

1. ogni arco è etichettato con un simbolo  $x \in \Sigma$ ;
2. per ogni coppia di nodi  $v, w$  distinti, ogni cammino da  $v$  verso una sua foglia è diverso da ogni cammino di  $w$  a una sua foglia.

Dato  $S$  un insieme di stringhe, si definisce  $\text{trie}(S)$  il più piccolo trie utile a rappresentare  $S$ .

**Esempio:** Sia  $S = \{\text{pippo}, \text{pluto}, \text{topolino}\}$ , segue che il suo trie è quello di *Figura 8*.

Figura 8: the caption

Per quanto concerne le operazioni di inserimento (di cui in *Figura 9* è riportata l'implementazione), cancellazione e ricerca, si dimostra che tutte richiedono tempo



Figura 9: theCaption

$\mathcal{O}(|S|)$  e spazio  $\mathcal{O}(|S||\Sigma|)$ .

#### – 2.3.1 – PATRICIA tree.

I *practical algorithm to retrieve information coded in alphanumeric tree* o più semplicemente PATRICIA tree, sono una versione compatta dei trie. L'idea sostanziale è quella di non assegnare un arco ad ogni carattere della stringa, bensì utilizzare un'unico arco per prefissi comuni a più stringhe. Con tale definizione, il trie di *Figura 8*, si riduce a quanto mostrato in *Figura 10*.

Figura 10: the caption



– **2.3.2 – Ternary search tree.**

Un ternary search tree, è un trie in cui ogni nodo ha tre link: uno per sinistro che lo collega a stringhe di ordine inferiore, uno destro che lo collega a stringhe di ordine superiore e un link centrale che indica una relazione di uguaglianza tra nodi.

Sempre considerando le stringhe  $\{pippo, pluto, topolino\}$ , il suo ternary tree è il seguente.